

**Tarefa 1.** A primeira tarefa consiste na criação de um modelo do Simulink tal qual mostrado na Figura 1. Para facilitar a modificação ao longo da prática, os valores dos parâmetros devem ser passados em forma de símbolos, conforme mostrado na figura. **Crie um script** para definir esses parâmetros. Os valores iniciais devem ser:  $K_p = 10$ ,  $T_i = 0.17$ ,  $T_d = 0$  e  $\alpha = 0.1$ . Defina os limites do bloco de saturação com as variáveis  $U_{\min}^c = -5$  e  $U_{\max}^c = 5$ .

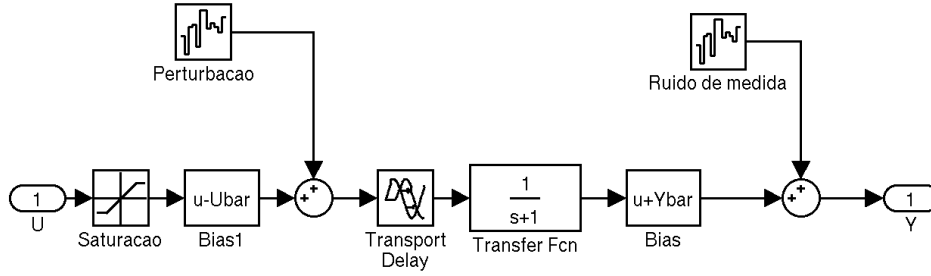


FIGURA 2. Modelo da planta a ser controlada

**Tarefa 2.** (*pode ser feita em casa*) Desconsiderando o efeito da saturação, calcule  $U(s)$  em função de  $Y(s)$  e  $R(s)$  e compare a expressão obtida com a função de transferência de um PID clássico:  $C(s) = K_p \left(1 + \frac{1}{T_i s} + T_d s\right)$ .

**Tarefa 3.** Simule o sistema conforme os parâmetros dados acima e use o comando subplot para traçar na mesma janela as respostas da variável de processo  $y(t)$  e da variável manipulada  $u(t)$ . Em seguida, desative o *anti-windup* do controlador modificando os valores da saturação para  $U_{\min}^c = -\infty$  e  $U_{\max}^c = \infty$ . Simule o sistema e trace as mesmas respostas sobre o gráfico anterior usando linha tracejada vermelha. Dica: utilize o comando sim para simular o sistema a partir do script.

**Explique** o fenômeno de *windup* observado no segundo caso e explique como a estrutura utilizada para o PID impede o mesmo.

**Tarefa 4.** Com os valores de saturação originais, gere um gráfico como o anterior comparando as variáveis de processo e manipuladas para os casos  $T_d = 0$  e  $T_d = 0.05$ . **Explique o comportamento obtido.**

**Tarefa 5.** Mantenha  $T_d = 0.05$  para **todas** as simulações posteriores. Altere a potência do ruído de medida para  $N_M = 10^{-4}$  e compare o desempenho do sistema para  $\alpha = 0.1$  e  $\alpha = 0.01$ , **explicando** o comportamento observado.

**Tarefa 6.** Mantenha  $\alpha = 0.1$ . Compare o desempenho do sistema com essa configuração com aquele em que o termo derivativo é alimentado pelo sinal  $-E(s)$  (em vez de  $Y(s)$ ) e **explique a vantagem** da configuração original.

**Tarefa 7.** Explique como a configuração utilizada suaviza a transição do controle manual para controle automático e explique a importância dessa característica.

**Tarefa 8.** Explique o que é o ponto de operação e por que sua inclusão através dos blocos de Bias é essencial para o correto funcionamento da simulação. Veja por exemplo o que acontece se mudarmos o ponto de operação para  $(\bar{U}, \bar{Y}) = (1.5, -2)$ .

## 2. PROJETO DO CONTROLADOR PID

Em seguida, utilizaremos dois métodos para projeto de controlador PID e os comparamos.

**2.1. Síntese direta.** O primeiro método será o de síntese direta. Neste método, o objetivo é obter a função de transferência em malha fechada entre a saída  $Y$  e a referência  $R$  com constante de tempo de malha fechada  $\tau_c$ :

$$\frac{Y(s)}{R(s)} = \frac{1}{\tau_c s + 1} .$$

Consideremos uma planta com dinâmica de segunda-ordem como a modelada na aula anterior:

$$G(s) = \frac{K}{(\tau_1 s + 1)(\tau_2 s + 1)} .$$

Neste caso, o controlador  $C(s)$  com o desempenho desejado é um PID com parâmetros:

$$(1) \quad K_p = \frac{1}{K} \frac{\tau_1 + \tau_2}{\tau_c}$$

$$(2) \quad T_i = \tau_1 + \tau_2$$

$$(3) \quad T_d = \frac{\tau_1 \tau_2}{\tau_1 + \tau_2} .$$

Note como  $T_i$  é a soma das constantes de tempo e como  $T_d$  corresponde ao dobro da média harmônica das constantes de tempo. Para o caso em que  $\tau_1 \ll \tau_2$ , temos  $T_i \approx \tau_2$  e  $T_d \approx \tau_1$ . Note também que para aumentar a velocidade de resposta do controlador basta aumentar o ganho  $K_p$ . Os parâmetros  $T_i$  e  $T_d$  foram escolhidos de forma a criar zeros que cancelam os pólos da planta. Portanto, este controlador pode ser bastante sensível a erros de modelagem.

**2.2. Síntese direta para rejeição de perturbação.** Como vimos anteriormente, o processo está sujeito a perturbações consideráveis. Motivados pelo fato de que o controlador obtido por síntese direta pode ser muito lento para rejeitar perturbações, buscaremos uma alternativa que tenta manipular diretamente o efeito da perturbação na saída. O método detalhado em [2, 3] propõe projetar o controlador de forma a obter a seguinte função de transferência entre a saída  $Y$  e a perturbação  $D$  (que se assume como sendo somada à ação de controle):

$$\frac{Y(s)}{D(s)} = \frac{K_d s}{(\tau_c s + 1)^3} ,$$

onde o ganho  $K_d$  dependerá do modelo da planta e do controlador. Para uma determinada escolha de  $\tau_c$ , os parâmetros do controlador PID  $C(s)$  são dados por:

$$(4) \quad K_p = \frac{1}{K} \frac{3\tau_1 \tau_2 - \tau_c^2}{\tau_c^2}$$

$$(5) \quad T_i = \tau_c \frac{3\tau_1 \tau_2 - \tau_c^2}{\tau_1 \tau_2}$$

$$(6) \quad T_d = \tau_c \frac{3\tau_1 \tau_2 - (\tau_1 + \tau_2)\tau_c}{3\tau_1 \tau_2 - \tau_c^2} .$$

Note que sempre teremos  $T_i < 3\tau_c$  e  $T_d < \tau_c$  e que o ganho  $K_p$  aumentará à medida que aumentarmos  $\tau_c$ . Para estes parâmetros temos

$$K_d = K \frac{\tau_c^3}{\tau_1 \tau_2} ,$$

ou seja, a rejeição ao ruído nas baixas frequências aumenta de forma cúbica à medida que reduzimos  $\tau_c$ . No caso do controlador da seção anterior, o mesmo parâmetro seria  $K_d = K\tau_c$ , o que mostra que seria necessária uma redução drástica em  $\tau_c$  para obter a mesma atenuação da perturbação.

Quanto à função de transferência entre  $R$  e  $Y$ , temos:

$$\frac{Y(s)}{R(s)} = \frac{C(s)G(s)}{1 + C(s)G(s)} = C(s) \frac{Y(s)}{D(s)} = \frac{K_d K_p / T_i (1 + T_i s + T_d T_i s^2)}{(\tau_c s + 1)^3} = \frac{(1 + T_i s + T_d T_i s^2)}{(\tau_c s + 1)^3}.$$

Portanto, vemos que  $\tau_c$  também determina a velocidade da resposta em malha fechada.

**2.3. Limites na escolha de  $\tau_c$ .** Na prática, não é possível obter uma resposta arbitrariamente rápida do controlador. Um dos principais limitantes práticos são os limites do atuador. Para sabermos se o valor de  $\tau_c$  será compatível com os limites da planta, podemos avaliar o valor do sinal de controle imediatamente após a aplicação de um degrau e verificar se o mesmo está dentro dos limites de atuação.

Suponha que um degrau seja aplicado em malha fechada de modo que o valor de equilíbrio do sinal de controle saia de um ponto correspondente a 50% de atuação para 75% de atuação e que queiramos evitar a saturação da saída durante o transitório. Se definirmos a faixa de atuação como  $\Delta U = U_{\max} - U_{\min}$ , a saída estará em equilíbrio  $\bar{y} = Y_{\min} + K\Delta U/2$  e um degrau de amplitude  $K\Delta U/4$  será aplicado na referência. A saída do controlador será dada por  $u(t) = U_{\min} + \Delta U/2 + \Delta u(t)$ . Para evitar a saturação inicial, queremos que  $\Delta u(0) < \Delta U/2$ .

Para  $R(s) = \frac{K\Delta U}{4s}$ , a variação inicial na saída do controlador será dada por:

$$\Delta u(0) = \lim_{s \rightarrow \infty} s \frac{C(s)}{1 + C(s)G(s)} \frac{K\Delta U/4}{s} = K_p K \Delta U/4,$$

onde usamos o fato de que o sinal de referência não é aplicado ao termo derivativo. Assim, a condição  $\Delta u(0) < \Delta U/2$  resulta em

$$K_p K < 2.$$

Para o controlador obtido por síntese direta, substituímos (1) para obter a condição equivalente

$$K_p K = \frac{\tau_1 + \tau_2}{\tau_c} < 2 \Rightarrow \tau_c > \frac{\tau_1 + \tau_2}{2}.$$

Para o controlador obtido por síntese direta para rejeição de perturbação, substituímos (4) para obter a condição equivalente:

$$K_p K = \frac{3\tau_1\tau_2 - \tau_c^2}{\tau_c^2} < 2 \Rightarrow \tau_c > \sqrt{\tau_1\tau_2}.$$

Repare como o segundo controlador permite valores menores de  $\tau_c$  uma vez que a média geométrica é sempre menor que a média aritmética.

**2.4. Teste dos controladores.** Projete dois controladores seguindo as diretrizes acima, isto é, escolha  $\tau_c$  dentro da faixa proposta e obtenha os parâmetros correspondentes dos controladores. Modifique a simulação criada no Simulink para testar ambos controladores. Substitua a planta pelo modelo identificado pelo grupo (bem como ponto de operação, limites de saturação, sinal de referência) e tente ajustar o nível de ruído para ter algo próximo aos dados experimentais. Apresente os gráficos das repostas a degrau de MV e PV para os dois controladores.

**O que deve constar no relatório para a próxima aula.** Descrição das simulações realizadas, dos resultados obtidos e discussão conforme solicitado neste roteiro. Projeto dos dois controladores bem como descrição da metodologia de projeto, resultados da simulação em malha fechada no Simulink e discussão.

#### BIBLIOGRAFIA

- [1] CLARKE, D. PID algorithms and their computer implementation. *Transactions of the Institute of Measurement and Control*, Sage Publications Sage CA: Thousand Oaks, CA, v. 6, n. 6, p. 305–316, 1984.
- [2] SEBORG, D. E. et al. *Process dynamics and control*. [S.l.]: John Wiley & Sons, 2016.
- [3] CHEN, D.; SEBORG, D. E. PI/PID controller design based on direct synthesis and disturbance rejection. *Industrial & engineering chemistry research*, ACS Publications, v. 41, n. 19, p. 4807–4822, 2002.